

Un integratore robusto per l'equazione di Kramers

Gianluca Becuzzi

18 novembre 2023

1 Introduzione

Il seguente sistema di SDE per il moto di una particella sottoposto ad una forza stocastica:

$$\begin{aligned} dx(t) &= v(t)dt \\ dv(t) &= a(x, v, t)dt + \sigma(x, t)dW(t) \end{aligned}$$

è equivalente alla equazione di Fokker-Planck per la probabilità di transizione $p = p(x, v, t|x_0, v_0, t_0)$

$$\partial_t p + \partial_x(vp) + \partial_v(ap) = \frac{1}{2} \frac{\partial^2}{\partial v^2}(\sigma^2 p) \quad (1)$$

I primi due termini descrivono la advezione deterministica di p nello spazio delle fasi che si muove sotto un campo di velocità

$$\mathbf{u} = (v, a(x, v, t)) \quad (2)$$

che nei casi di interesse non è solenoidale, mentre il termine a secondo membro è il termine diffusivo dovuto al rumore. Dal momento che (1) si presenta come somma di due operatori differenziali rispetto ad una sola variabile, è naturale approcciare il problema con il metodo degli step frazionari [1]. Questo è equivalente a risolvere

$$\partial_t p + \partial_v(ap) = \sigma^2 \partial_v^2 p \quad x = x_i \quad (3)$$

$$\partial_t p + \partial_x(vp) = 0 \quad v = v_j \quad (4)$$

per ogni punto di una griglia regolare $x_i = i\Delta x$, $v_j = j\Delta v$.

Sia (1) che (3-4) rappresentano leggi di conservazione rispettivamente per l'intero dominio e per il singolo dominio 1D, quindi i metodi di integrazione impiegati sono della forma [2]

$$p_i^{n+1} = p_i^n - \frac{\Delta t}{\Delta} (F_{i \rightarrow i+1} - F_{i-1 \rightarrow i}) \quad (5)$$

in cui P_i è il valore medio di p nella i -esima cella del dominio e F una funzione di flusso. Eq. (5) garantisce che

$$\sum_i p_i^{n+1} = \sum_i p_i^n - \frac{\Delta t}{\Delta} (F_{1,0} - F_{M-1,M}) \approx \sum_i p_i^n$$

se la funzione di flusso è circa nulla agli estremi del dominio, per cui la normalizzazione è conservata.

2 Schemi di integrazione

Dato che (4) e (3) sono formalmente la stessa equazione di advezione-diffusione, è sufficiente studiare il comportamento di (3) considerando poi (4) come il caso specifico $a = v$, $\sigma = 0$. Nel seguito si indica quindi con z la variabile di integrazione e Δz la spaziatura della griglia. Per motivi dimensionali le costanti che compaiono nel seguito sono il numero di Fourier per la diffusione e il numero di Courant per la advezione:

$$\eta = \frac{\sigma^2}{2} \frac{\Delta t}{\Delta z^2} \quad \theta = \frac{\Delta t}{\Delta z} \quad (6)$$

2.1 Completamente implicito

Uno schema completamente implicito, proposto in [3], consiste nella seguente coppia di equazioni

$$\frac{p_i^{n+1} - p_i^n}{\Delta t} = - \frac{F_{i+1/2}^{n+1} - F_{i-1/2}^{n+1}}{\Delta z} \quad (7)$$

$$F_{i+1/2} = a_{i+1/2} \frac{p_i + p_{i+1}}{2} - \frac{\sigma^2}{2} \frac{p_{i+1} - p_i}{\Delta z} \quad (8)$$

che corrisponde ad imporre che nella singola cella la funzione sia costante

$$\begin{aligned} p(z) &= p_i \quad z \in [z_i, z_{i+1}] \\ P_i &= p_i \end{aligned}$$

con un flusso dato da

$$F_{i \rightarrow i+1} = a_{i+1/2} P_i - \frac{\sigma^2}{2} \frac{P_{i+1} - P_i}{\Delta z} \quad (9)$$

In questo caso non c'è differenza tra uno schema di integrazione ai volumi finiti e alle differenze finite.

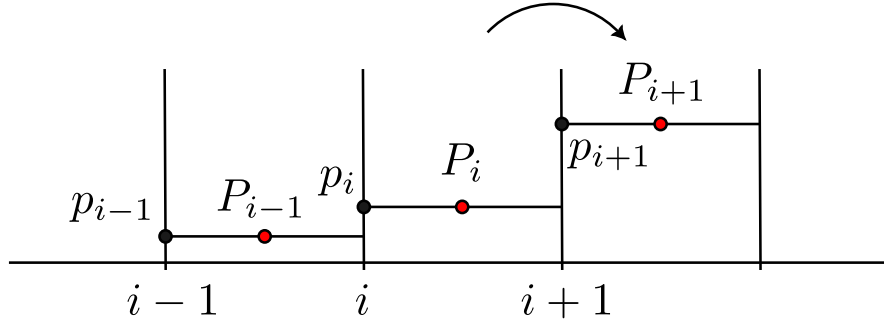


Figura 1: Caption

Il coefficiente di amplificazione lineare dello schema è dato da

$$\begin{aligned} g_{IMP} &= \left(1 + 4\eta \sin^2 \left(\frac{k\Delta z}{2} \right) + \frac{\partial a}{\partial z} \Delta t \cos^2 \left(\frac{k\Delta z}{2} \right) - 4i\theta a \sin(k\Delta z) \right)^{-1} \\ &\approx \left(1 + 4\eta \sin^2 \left(\frac{k\Delta z}{2} \right) - 4i\theta a \sin(k\Delta z) \right)^{-1} \end{aligned} \quad (10)$$

per cui stabile per ogni valore di Δz e Δt finchè vale

$$\gamma \Delta t \ll 4\eta \quad \gamma = \max_{\Omega} (|\partial_z a|) \quad (11)$$

e la condizione di Courant per l'advezione

$$\frac{A \Delta t}{\Delta z} < 1 \quad A = \max_{\Omega} (|a|) \quad (12)$$

2.2 Crank-Nicholson

Un'altra possibilità è quella di considerare anche i valori medi \bar{P}_i delle celle [4]. Imponendo

$$p(z) = a + bz + cz^2 \quad z \in [z_i, z_{i+1}] \quad (13)$$

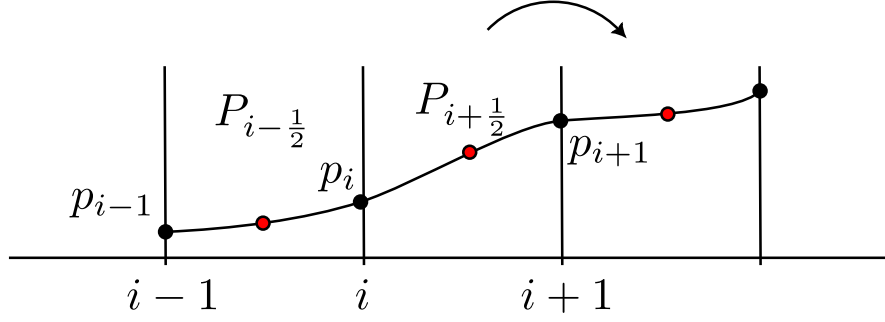


Figura 2: Caption

si ottiene per la derivata all'estremo destro della cella

$$\left. \frac{\partial p}{\partial z} \right|_{\text{right},i} = \frac{4p_{i+1} + 2p_i - 6\bar{P}_i}{\Delta x} \quad (14)$$

Usando un flusso

$$F_{i \rightarrow i+1} = a_{i+1}p_{i+1} - \frac{\sigma^2}{2} \left. \frac{\partial p}{\partial z} \right|_{\text{right},i} \quad (15)$$

3 AAA

I tre termini di (1) sono operatori differenziali in una sola variabile. Questi possono essere considerati come tre termini indipendenti oppure raggruppati in base alla variabile di interesse

$$\partial_t p = [\mathcal{L}_1 + \mathcal{L}_2 + \mathcal{L}_3] p = [\mathcal{L}_x + \mathcal{L}_v] p \quad (16)$$

per cui la soluzione può essere approssimata applicando un operator split a due o tre step. Come suggerito in [3] (vedi app. C), si approssima il termine di drift in v con

$$\partial_v(ap) \approx \frac{1}{2\Delta v} \left(a_{i,j+\frac{1}{2}} p_{i,j+1} - a_{i,j-\frac{1}{2}} p_{i,j-1} \right) + \frac{1}{2\Delta v} \left(a_{i,j+\frac{1}{2}} - a_{i,j-\frac{1}{2}} \right) p_{ij} \quad (17)$$

In seguito il problema algebrico complessivo:

$$\begin{aligned} \frac{p_{ij}^{n+1} - p_{ij}^n}{\Delta t} = & -v_j \frac{p_{i+1,j}^{n+1} - p_{i-1,j}^{n+1}}{\Delta x} + \\ & + \frac{\sigma^2}{2} \left(\frac{p_{i,j+1}^{n+1} - 2p_{i,j}^{n+1} + p_{i,j-1}^{n+1}}{\Delta v^2} \right) - \partial_v(ap) \end{aligned}$$

viene approssimato dai due sotto-problemi tridiagonali

$$\frac{p_{ij}^* - p_{ij}^n}{\Delta t} = -[\partial_v(ap)]^* + \frac{\sigma^2}{2} \left(\frac{p_{i,i+1}^* - 2p_{i,j}^* + p_{i,j-1}^*}{\Delta v^2} \right) \quad (18)$$

$$\frac{p_{ij}^{n+1} - p_{ij}^*}{\Delta t} = -v_j \frac{p_{i+1,j}^{n+1} - p_{i-1,j}^{n+1}}{\Delta x} \quad (19)$$

ovvero, per ogni vettore riga \mathbf{r} e per ogni vettore colonna \mathbf{c} della matrice p_{ij}^n si hanno i tre sistemi:

$$\mathbf{V}\mathbf{r}^{n+\frac{1}{3}} = \mathbf{r}^n \quad (20)$$

$$\mathbf{X}\mathbf{c}^{n+\frac{2}{3}} = \mathbf{c}^{n+\frac{1}{3}} \quad (21)$$

$$\mathbf{D}\mathbf{r}^{n+1} = \mathbf{r}^{n+\frac{2}{3}} \quad (22)$$

$$\begin{aligned} \mathbf{D}_{jm} = & -\eta\delta_{j+1,m} \\ & + (1 + 2\eta)\delta_{jm} \\ & - \eta\delta_{j-1,m} \end{aligned} \quad (23)$$

$$\begin{aligned} \mathbf{X}_{im} = & (\alpha v_j) \delta_{i+1,m} \\ & + \delta_{im} \\ & + (-\alpha v_j) \delta_{i-1,m} \end{aligned} \quad (24)$$

$$\begin{aligned} \mathbf{V}_{jm} = & \left(\theta a_{j+\frac{1}{2}} \right) \delta_{j+1,m} \\ & + \left(1 + \theta \left[a_{j+\frac{1}{2}} - a_{j-\frac{1}{2}} \right] \right) \delta_{jm} \\ & + \left(-\theta a_{j-\frac{1}{2}} \right) \delta_{j-1,m} \end{aligned} \quad (25)$$

in cui \mathbf{V} , \mathbf{X} e \mathbf{D} sono matrici tridiagonali date da

$$\eta = \frac{\sigma^2}{2} \frac{\Delta t}{\Delta v^2} \quad \theta = \frac{1}{2} \frac{\Delta t}{\Delta v} \quad \alpha = \frac{1}{2} \frac{\Delta t}{\Delta x} \quad (26)$$

che sono i coefficienti legati rispettivamente a diffusione, drift in v e drift in x .

In (20-22) è implicito il fatto che il sistema vada risolto prima per ogni riga, poi per ogni colonna, e infine di nuovo per ogni riga. Inoltre in eq. 25 si è posto per brevità $a_j \equiv a_{ij}^n$, dando per scontato che per ogni riga i la matrice $\mathbf{V}^{(i)}$ vada ricalcolata poichè cambiano i valori di a .

Se a è lineare in x e v la diagonale di (25) non dipende dagli indici i e j . Evitando la costruzione di questa si riduce il tempo di esecuzione dell'algoritmo di circa il 7% (vedi appendice A).

Nel caso il rumore dipenda dal tempo e dalla posizione lo schema di integrazione è identico al precedente con $\eta = \eta(x, t)$.

3.1 Stabilità

Il coefficiente di amplificazione di (??) è

$$g_B = (1 + 2i \cdot \alpha v \sin(k\Delta x))^{-1} \quad (27)$$

per cui incondizionatamente stabile, mentre quello di (??) è

$$g_A = \left(1 + 4\eta \sin^2 \left(\frac{k\Delta v}{2} \right) + \frac{\partial a}{\partial v} \Delta t \cos^2 \left(\frac{k\Delta v}{2} \right) - 2i\theta a \sin(k\Delta v) \right)^{-1} \quad (28)$$

per cui

$$\begin{aligned} g_A & \approx 1 - \frac{\partial a}{\partial v} \Delta t & k & \rightarrow 0 \\ g_A & \approx 1 - 4\eta & k & \rightarrow \frac{\pi}{\Delta v} \end{aligned}$$

quindi le regioni in cui $p \approx \text{const.}$ vengono giustamente amplificate dal termine $\partial_v(ap) \approx p\partial_v a$ mentre i modi ad alta frequenza spaziale vengono attenuati. Si noti che se fosse stata fatta l'approssimazione:

$$\partial_v(ap) = p\partial_v a + a\partial_v p \approx \frac{\partial a}{\partial v} p_{ij} + a_{ij} \frac{p_{i,j+1} - p_{i,j-1}}{2\Delta v}$$

il termine di drift in v avrebbe influenzato anche l'attenuazione dei modi ad alta frequenza:

$$g_A \approx 1 - 4\eta - \frac{\partial a}{\partial v} \Delta t \quad k \rightarrow \frac{\pi}{\Delta v}$$

3.2 Normalizzazione e condizioni al bordo

La b.c. naturale per il problema è che la funzione decada in maniera sufficientemente rapida ai bordi e che la normalizzazione sia conservata. Se la griglia è sufficientemente fine:

$$N(t) = \int_{\Omega} p(x, v, t) \approx \sum_{ij} p_{ij}^n \Delta x \Delta v \quad (29)$$

Una condizione sufficiente alla conservazione della norma è richiedere che sia la matrice inversa di (??) che quella di (??) conservino la somma degli elementi rispettivamente dei vettori riga e dei vettori colonna, ovvero richiedere che \mathbf{A}^{-1} e \mathbf{B}^{-1} siano matrici stocastiche sinistre, e quindi che lo siano anche \mathbf{A} e \mathbf{B} . La matrice \mathbf{B} verifica questa condizione, mentre per \mathbf{A} :

$$\mathbf{A} = \mathbf{I} + \theta \begin{pmatrix} \ddots & & a_{m-\frac{1}{2}} & & \\ & -a_{m-\frac{1}{2}} & [a_{m+\frac{1}{2}} - a_{m-\frac{1}{2}}] & & \\ & & -a_{m+\frac{1}{2}} & & \\ & & & \ddots & \\ & & & & a_{m+\frac{1}{2}} \end{pmatrix} \quad (30)$$

quindi la somma della m -esima colonna è uguale a

$$\sum_k A_{km} = 1 + \theta(a_{m-1} - a_{m+1}) - \frac{1}{4}\Delta t ((\partial_v a)_{m-1} + 2(\partial_v a)_{m+1} + (\partial_v a)_m) \approx 1 + \frac{1}{4}\Delta t \Delta v^2 \left. \frac{\partial^2 a}{\partial v^2} \right|_{v_m}$$

dunque la normalizzazione non è esattamente conservata se la funzione $a(x, v, t)$ è più che di primo grado in v .

Per quanto riguarda l'errore di arrotondamento, in Fig. ?? viene mostrato che (almeno per tempi piccoli)

$$\begin{aligned} N(t) &\approx \exp(mt) \\ |m| &\approx 10^{-14} \end{aligned} \quad (31)$$

Sono state testate anche condizioni al bordo assorbenti e riflettenti, senza rimarcabili differenze in termini di accuratezza e stabilità.

3.3 Add-ons

È possibile migliorare l'accuratezza del metodo aggiungendo una correzione di tipo Crank-Nicholson a (??) con $\eta \leftarrow \frac{\eta}{2}$

$$\begin{aligned} \mathbf{A} \mathbf{r}^* &= \mathbf{D} \mathbf{r}^n \\ \mathbf{D}_{jm} &= \eta (\delta_{j+1,m} - 2\delta_{j,m} + \delta_{j-1,m}) \end{aligned}$$

In questo caso si ottiene la correzione a (28):

$$|g'_A| = |g_A| \cdot \left(1 - 4\eta \sin^2 \left(\frac{k\Delta v}{2} \right) \right) < |g_A|$$

quindi la stabilità non viene intaccata.

4 Accuratezza

Le soluzioni di (1) sono note analiticamente solo per l'oscillatore armonico smorzato (appendice B) in cui

$$a(x, v, t) = -\omega^2 x - \gamma v \quad (32)$$

Come estimatori della precisione della soluzione numerica vengono calcolati:

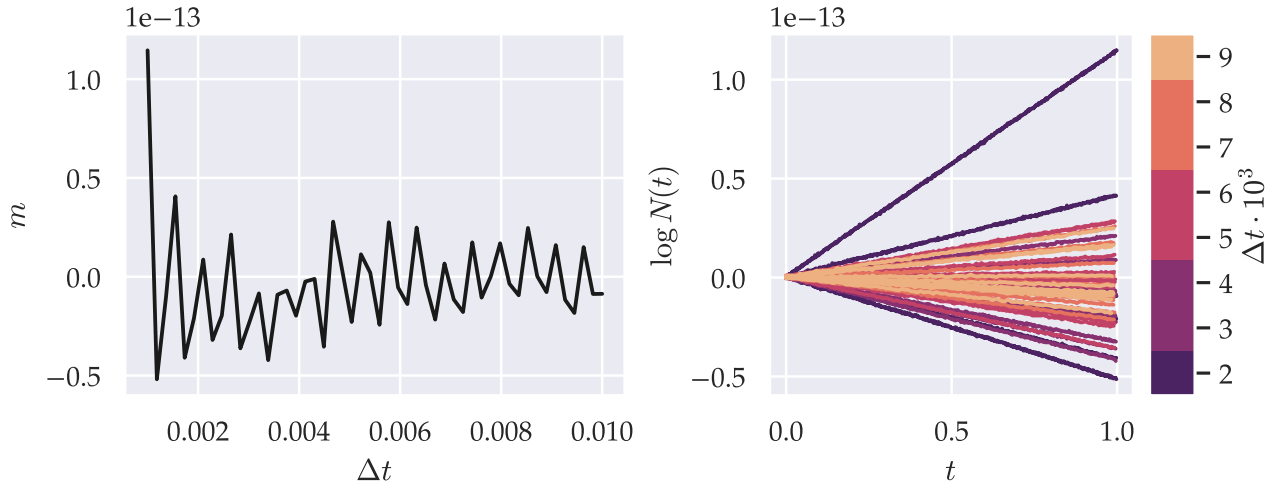


Figura 3: Norma in funzione del tempo per l'integratore a singolo split di eqs. (??) e (??). (Destra) La norma si discosta dal valore 1 esponenzialmente (sia crescente che decrescente) con un tempo caratteristico molto lungo. (Sinistra) L'esponente della norma (eq. 31) cambia segno in maniera irregolare ed è maggiore per timesteps piccoli, quindi è presumibilmente dovuto all'errore di arrotondamento.

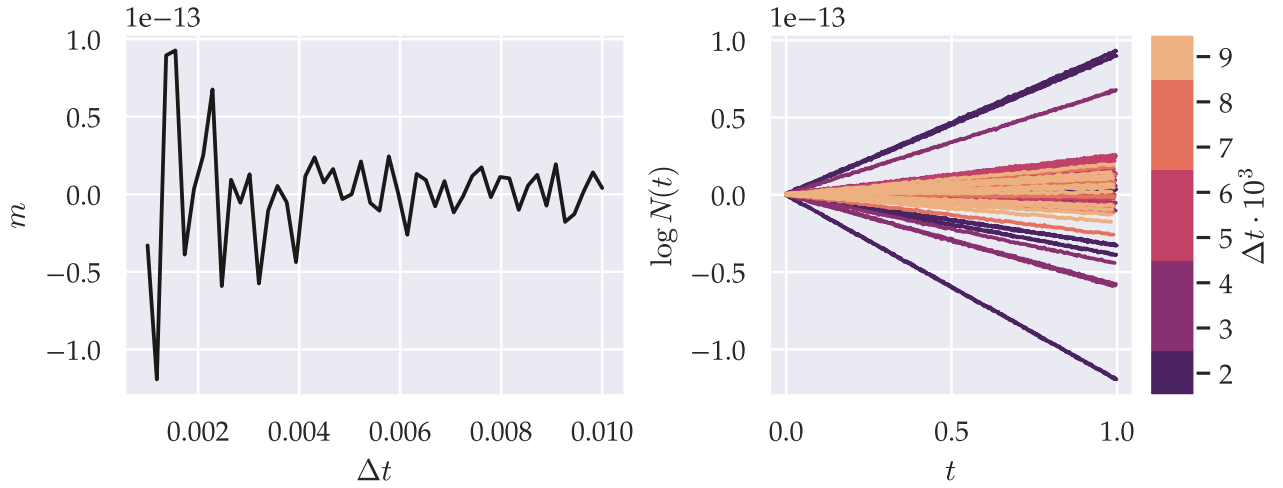


Figura 4: Norma in funzione del tempo per l'integratore a doppio split con correzione Crank-Nicholson per il secondo (x-drift) e terzo (diffusione) operatore. La figura è simile a Fig. 3.

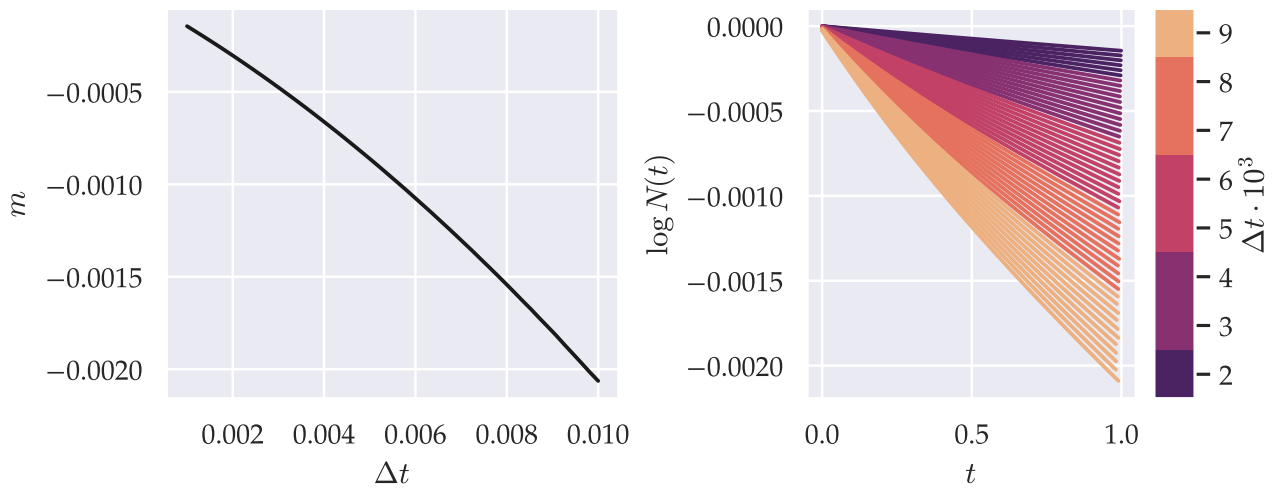


Figura 5: Norma in funzione del tempo per l'integratore a 2 split con correzione Crank-Nicholson. La figura è simile a 3

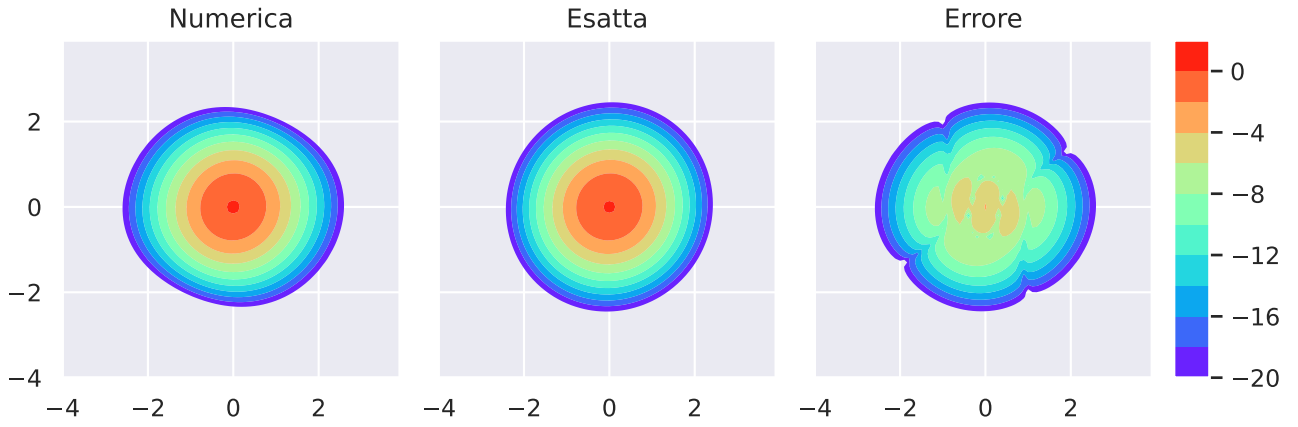


Figura 6: Soluzione numerica, esatta e valore assoluto dell'errore dopo 800 timesteps (scala logaritmica).

$$\|e\|_{\text{RMS}} = \sqrt{\frac{1}{NM} \sum_{ij} (p_{ij}^{\text{num}} - p_{ij}^{\text{exact}})^2}$$

$$\|e\|_{\text{SUP}} = \max_{ij} |p_{ij}^{\text{num}} - p_{ij}^{\text{exact}}|$$

Il confronto presentato nasconde il fatto che i due problemi non sono esattamente equivalenti. Il RMSE è infatti indicativo della precisione del metodo soltanto nel limite in cui i due problemi sono equivalenti, ovvero quando il lato del quadrato $L \rightarrow \infty$. Inoltre se il sup dell'errore commesso nel valutare p_{ij} è circa costante, il RMSE può essere reso piccolo a piacere aumentando L (Fig. 8).

Infine, più è piccolo il supporto della condizione iniziale $p_0(x, v)$ più l'errore dovuto alla discretizzazione del reticolo è grande (Fig. 7).

Come condizione iniziale è stata scelta la soluzione esatta per $t = 0.95$. Nel seguito vale $\Delta t = \pi/1000$, $\Delta x = \Delta v = 0.1$.

4.1 Stato stazionario

Per $\gamma > 2\omega^2$ il sistema raggiunge rapidamente l'equilibrio senza oscillare. La distribuzione viene fatta evolvere numericamente per 100 passi di integrazione fino a stabilizzare la quinta cifra significativa dei momenti secondi¹ ($t \approx 10$). A stazionarietà questi sono:

$$\begin{aligned} \langle x \rangle &= \langle v \rangle = \langle xv \rangle = 0 \\ \omega^2 \langle x^2 \rangle &= \langle v^2 \rangle = \frac{\sigma^2}{2\gamma} \end{aligned} \quad (33)$$

I valori di momenti di x e v calcolati a stazionarietà sono mostrati in Tab.1. Per la distanza tra le due distribuzioni si ottiene invece $\|e\| = 1.6 \cdot 10^{-4}$.

4.2 Dipendenza dal tempo

I risultati per la media e la varianza di x sono mostrati in Fig. 9 e Fig. 10

A Codice e performance

Il codice viene implementato in Cython e profilato tramite il pacchetto python `line_profiler`. A sinistra di ogni riga, dove necessario, è indicato il costo temporale percentuale della singola linea (dove non riportato è minore del 1%).

¹I momenti sono stati calcolati con un'integrazione trapezoidale [5]

	Numerico	Esatto	Stazionarietà
$E[xx]$	0.15109	0.15238	0.15238
$E[vv]$	0.15010	0.15238	0.15238
$E[xv]$	$3.2612 \cdot 10^{-8}$	$3.2984 \cdot 10^{-8}$	0

Tabella 1: Confronto tra i momenti secondi di $p(x, v)$ per $\omega = 1$, $\gamma = 2.1$ e $\sigma = 0.8$. Il valore esatto ed il valore teorico (eq. 33) a stazionarietà corrispondono entro la precisione scelta. L'errore della stima numerica è circa lo 0.5%.

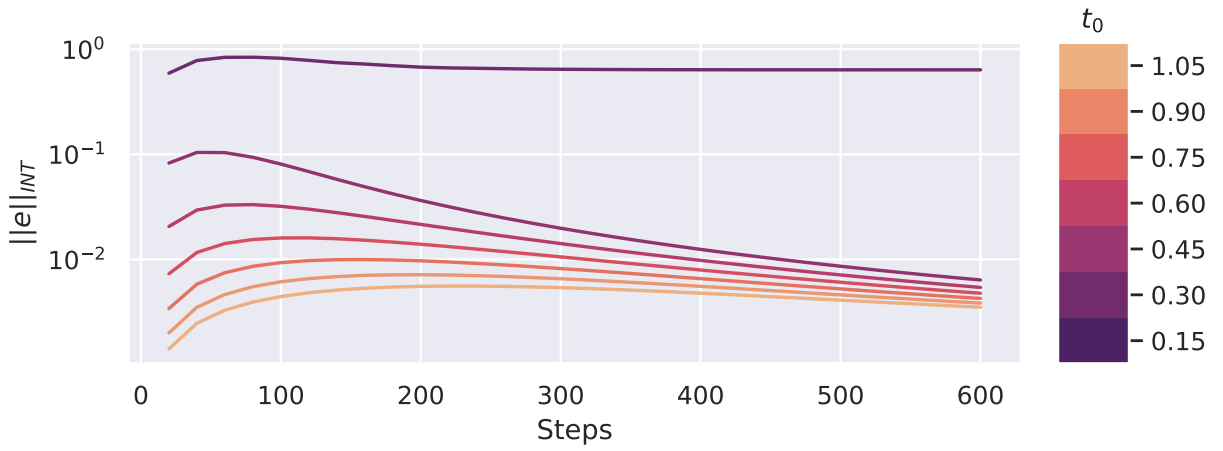


Figura 7: Dipendenza dell'errore dalle condizioni iniziali. Più la condizione iniziale ha supporto piccolo ($t_0 \rightarrow 0$) più la discretizzazione del reticolo impatta l'errore. Se questo non è troppo grande la soluzione converge comunque alla soluzione stazionaria.

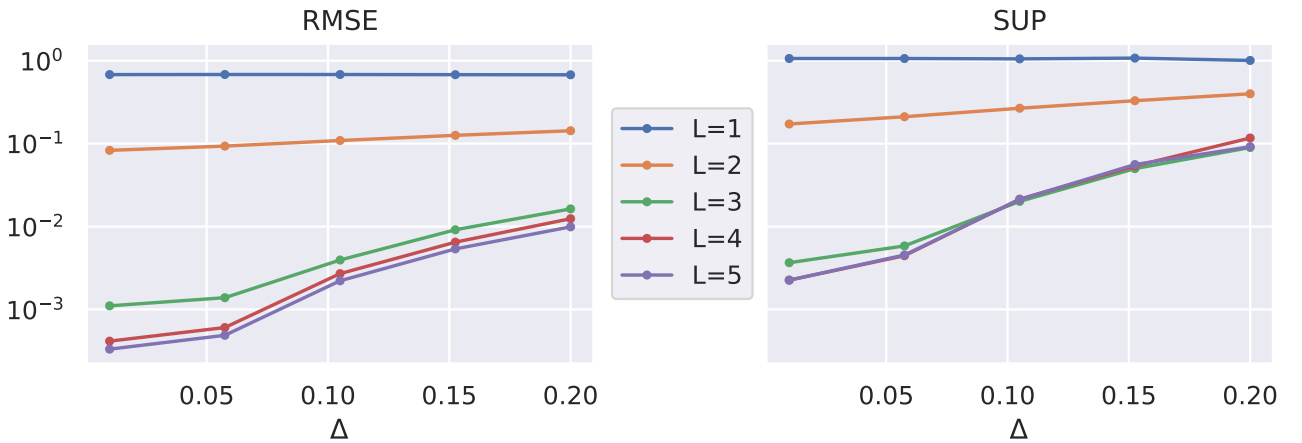


Figura 8: Dipendenza dell'errore dalla dimensione del dominio.

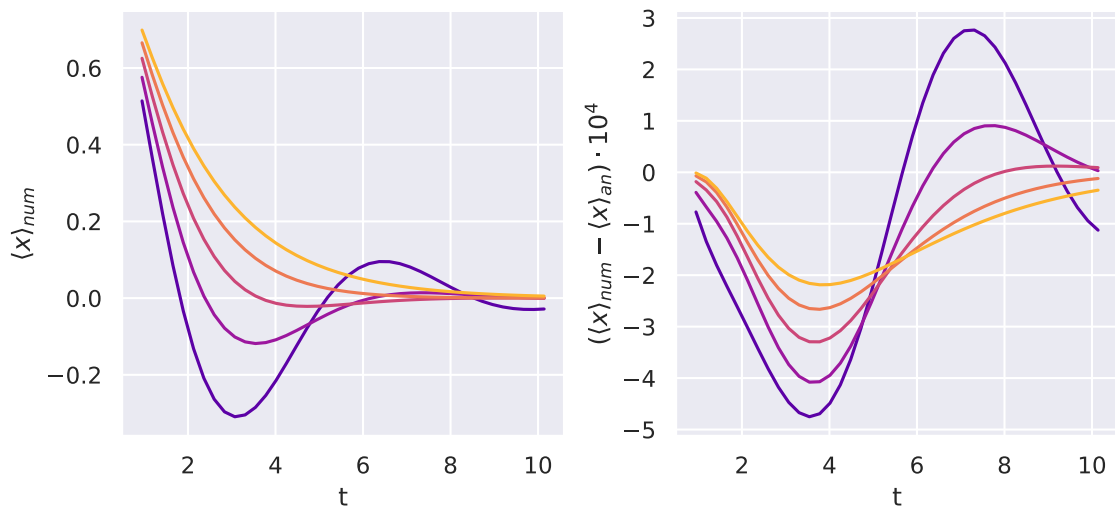


Figura 9: Valore di aspettazione di x nel tempo ed errore rispetto alla soluzione esatta per vari valori di γ con $\omega = 1$. Da notare a tempi piccoli il valore di $\langle x \rangle$ viene sottostimato, come se la soluzione numerica evolvesse più rapidamente di quella analitica.

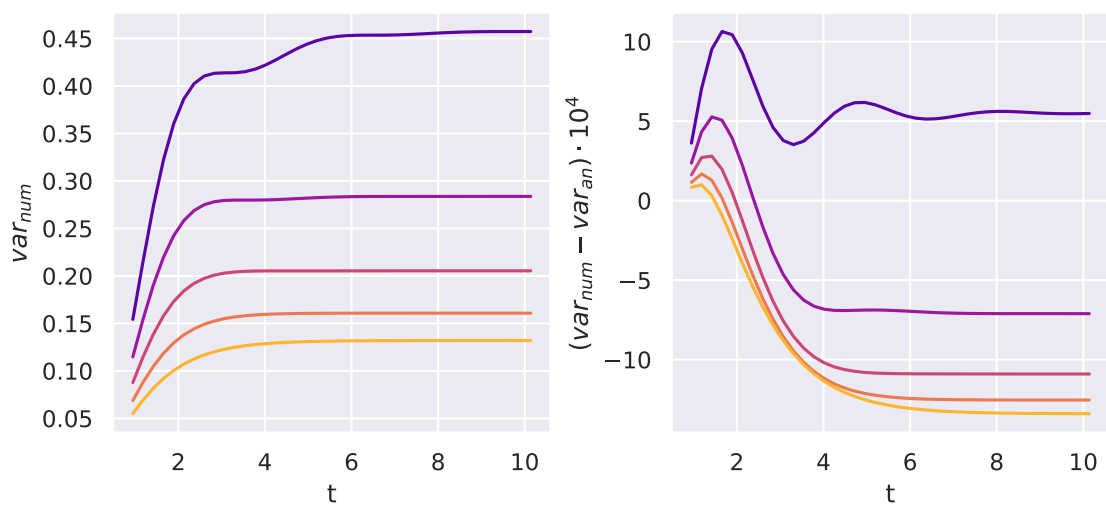


Figura 10: Caption

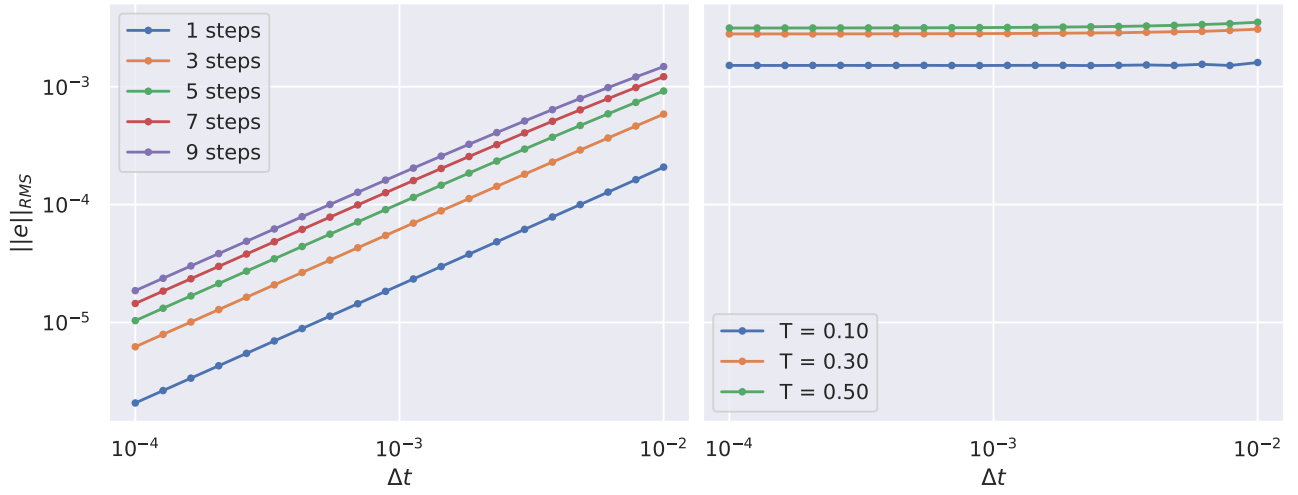


Figura 11: Errore di troncamento locale (sinistra) e globale (destra).

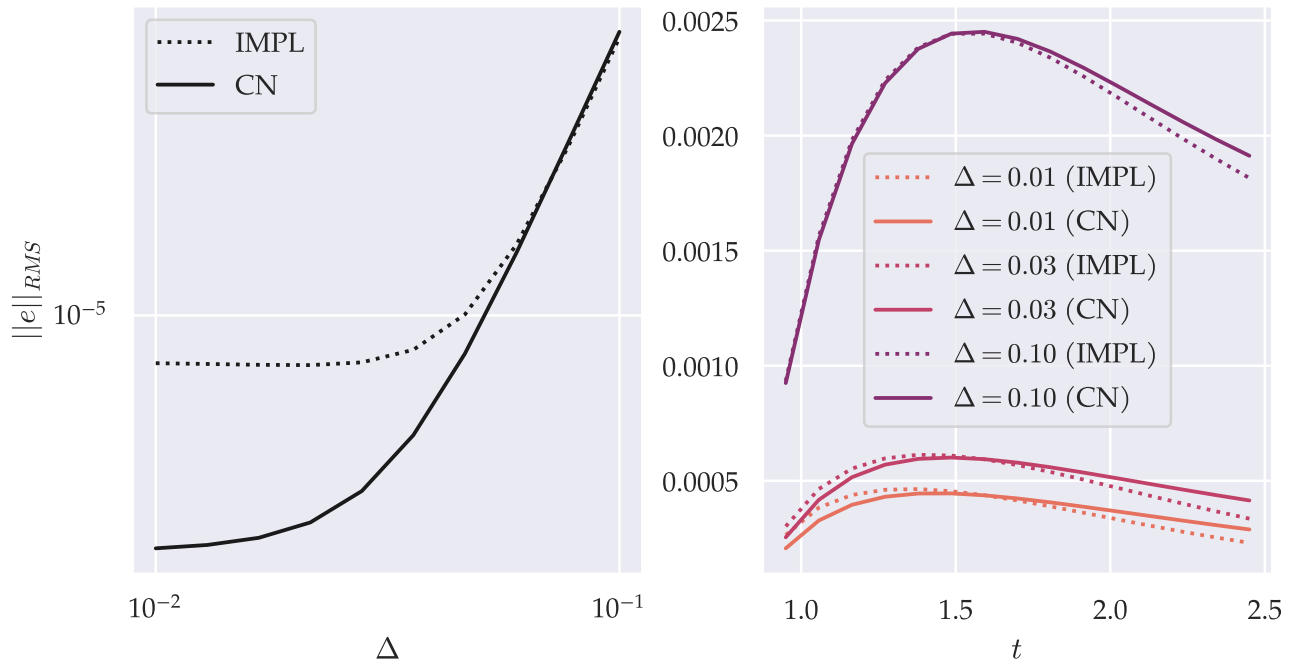


Figura 12: Caption

Inaspettatamente il tempo di preparazione delle matrici e' superiore al tempo necessario per risolverle: la risoluzione di entrambi i sistemi tridiagonali occupa il 14% del tempo mentre la preparazione della prima matrice il 55%, la seconda il 9% e il riassetto dei dati l' 8%.

Trascurando gli overhead di inizializzazione, il singolo step di update ha un costo temporale dato da:

$$\tau_{\text{step}} \approx \beta N^2 + \gamma N$$

dove β e' una costante dipendente dalla macchina mentre N è il numero di punti su ciascun asse del dominio, supposto quadrato.

Sulla macchina testata (Intel i5-1135G7) nel caso σ costante e $\partial_v \alpha$ costante:

$$\beta \approx 0.13 \mu\text{s}$$

$$\gamma \approx 4 \mu\text{s}$$

per cui 1000 step di update su un reticolo 80x80 impiegano circa 1.5 secondi, mentre per il metodo usato in [3]

$$\beta \approx 0.2 \mu\text{s}$$

$$\gamma \approx 4.4 \mu\text{s}$$

Per quanto riguarda il caso $\sigma = \sigma(x, t)$ e $\partial_v \alpha \neq \text{const.}$

$$\beta \approx 0.21 \mu\text{s}$$

$$\gamma \approx 4.6 \mu\text{s}$$

```

1  def generic_3_step( double[:, :] p0,
2                      physical_params,
3                      integration_params,
4                      save_norm = False,
5                      save_current=False
6                      ):
7
8      ## Time
9      cdef double dt = integration_params['dt']
10     cdef unsigned int n_steps = integration_params['n_steps']
11     cdef double t0 = physical_params.get('t0', 0.0)
12
13     ## Space
14     cdef double Lx, Lv, dx, dv
15     Lx, Lv, dx, dv = map(integration_params.get, ["Lx", "Lv", "dx", "dv"])
16     cdef unsigned int N = int(Lx/dx), M = int(Lv/dv)
17     cdef double [:] x = np.arange(-int(N)//2, int(N)//2)*dx
18
19     cdef double [:] v = np.arange(-int(M)//2, int(M)//2)*dv
20
21     ## Add-ons
22     cdef bool [:] CN_ized_steps = integration_params.get('CN', np.array([False, False, False]))
23     cdef bool ADI = integration_params.get("ADI", False)
24
25     cdef unsigned int time_index = 0, i = 0, j = 0
26
27     cdef double[:, :] p = p0.copy(), p_star = p0.copy(), p_dagger = p0.copy()
28     cdef double [:] norm = np.zeros(n_steps)
29     cdef double [:] amplification_average = np.zeros(3)
30
31     if ADI:
32         print("Set to ADI mode")
33         dt = dt/3.0

```

```

34 cdef double theta = 0.5 * dt/dv
35 cdef double alpha = 0.5 * dt/dx
36 cdef double eta = 0.5 * dt/dv**2
37 cdef double time = t0
38
39 # Halves the brot in case Crank-Nicholson is chosen
40 if CN_ized_steps[0]:
41     print("V-drift Crank-Nicholson-ized")
42     theta = 0.5 * theta
43
44 if CN_ized_steps[1]:
45     print("X-drift Crank-Nicholson-ized")
46     alpha = 0.5 * alpha
47
48 if CN_ized_steps[2]:
49     print("Diffusion Crank-Nicholson-ized")
50     eta = 0.5 * eta
51
52 # Declarations of the diagonals
53 cdef double [:] lower_1, diagonal_1, upper_1, b_1
54 cdef double [:] lower_2, diagonal_2, upper_2, b_2
55 cdef double [:] lower_3, diagonal_3, upper_3, b_3
56
57 diagonal_1, lower_1, upper_1, b_1 = np.ones(M), np.ones(M), np.ones(M), np.ones(M)
58 diagonal_2, lower_2, upper_2, b_2 = np.ones(N), np.ones(N), np.ones(N), np.ones(N)
59 diagonal_3, lower_3, upper_3, b_3 = np.ones(M), np.ones(M), np.ones(M), np.ones(M)
60
61 # Working variables
62 cdef double a_plus, a_minus, s
63
64 cdef dict currents = dict(top=np.zeros(n_steps),
65                           bottom=np.zeros(n_steps),
66                           left=np.zeros(n_steps),
67                           right=np.zeros(n_steps))
68
69 for time_index in range(n_steps):
70     time = t0 + time_index*dt
71     ##### First evolution: v-drift
72     #####
73     for i in range(N):
74
75         # Constant part of coefficient vector does not depend on j
76         [ 2%] b_1 = p[:, i].copy()
77
78         # Diffusion coefficient does not depend on j
79         s = eta * sigma_squared(x[i], time, physical_params)
80
81         for j in range(M):
82             # Note tha theta is absorbed in working variable
83             [ 5%] a_plus = theta * a(x[i],v[j] + 0.5*dv, time, physical_params)
84             [ 5%] a_minus = theta * a(x[i],v[j] - 0.5*dv, time, physical_params)
85
86             [ 2%] diagonal_1[j] = 1 + a_plus - a_minus
87             [ 2%] upper_1[j] = a_plus
88             # Since lower has an offset of one
89             # (write the matrix down and you'll see)
90             [ 2%] lower_1[j] = - a_plus
91
92             [ 2%] if ADI:
93                 # ADI-sytle
94                 if i != 0 and i != N-1:
95                     # X-drift
96                     b_1[j] += - alpha * v[j] * (p[j, i+1] - p[j, i-1])
97
98             if j != 0 and j != M-1:
99                 # Diffusion

```

```

99         b_1[j] += ( s)* p[j+1,i]
100         b_1[j] += (-2*s)* p[j,i]
101         b_1[j] += ( s)* p[j-1, i]
102
103 [ 3%]         if CN_ized_steps[0]:
104                 if j > 0 and j < M-1:
105
106                     # Drift
107                     b_1[j] += - a_plus*p[j+1, i]
108                     b_1[j] += (a_minus - a_plus)*p[j, i]
109                     b_1[j] += a_minus*p[j-1, i]
110
111                     # Solves the tridiagonal system for the column
112 [ 8%]         p_star[:, i] = tridiag(lower_1, diagonal_1, upper_1, b_1)
113 [ 4%]         amplification_average[0] += np.sum(p_star[:, i])/np.sum(p[:,i])/N/n_steps
114         # print(f"Sum of V-rows\n{np.sum(get_tridiag(lower_1, diagonal_1, upper_1),
115         # print(f"Sum of V-cols\n{np.sum(get_tridiag(lower_1, diagonal_1, upper_1),
116         # print(f"Sum of V-rows\n{np.sum(get_tridiag(lower_1, diagonal_1, upper_1),
117         # print(f"Sum of V-cols\n{np.sum(get_tridiag(lower_1, diagonal_1, upper_1),
118         # print(f"Sum of V-rows\n{np.sum(get_tridiag(lower_1, diagonal_1, upper_1),
119         # print(f"Sum of V-cols\n{np.sum(get_tridiag(lower_1, diagonal_1, upper_1),
120         # print(f"Sum of V-rows\n{np.sum(get_tridiag(lower_1, diagonal_1, upper_1),
121         # print(f"Sum of V-cols\n{np.sum(get_tridiag(lower_1, diagonal_1, upper_1),
122         # print(f"Sum of V-rows\n{np.sum(get_tridiag(lower_1, diagonal_1, upper_1),
123         # print(f"Sum of V-cols\n{np.sum(get_tridiag(lower_1, diagonal_1, upper_1),
124         # print(f"Sum of V-rows\n{np.sum(get_tridiag(lower_1, diagonal_1, upper_1),
125         # print(f"Sum of V-cols\n{np.sum(get_tridiag(lower_1, diagonal_1, upper_1),
126         # print(f"Sum of V-rows\n{np.sum(get_tridiag(lower_1, diagonal_1, upper_1),
127         # print(f"Sum of V-cols\n{np.sum(get_tridiag(lower_1, diagonal_1, upper_1),
128         # print(f"Sum of V-rows\n{np.sum(get_tridiag(lower_1, diagonal_1, upper_1),
129         # print(f"Sum of V-cols\n{np.sum(get_tridiag(lower_1, diagonal_1, upper_1),
130         # print(f"Sum of V-rows\n{np.sum(get_tridiag(lower_1, diagonal_1, upper_1),
131         # print(f"Sum of V-cols\n{np.sum(get_tridiag(lower_1, diagonal_1, upper_1),
132         # print(f"Sum of V-rows\n{np.sum(get_tridiag(lower_1, diagonal_1, upper_1),
133         # print(f"Sum of V-cols\n{np.sum(get_tridiag(lower_1, diagonal_1, upper_1),
134         # print(f"Sum of V-rows\n{np.sum(get_tridiag(lower_1, diagonal_1, upper_1),
135         # print(f"Sum of V-cols\n{np.sum(get_tridiag(lower_1, diagonal_1, upper_1),
136         # print(f"Sum of V-rows\n{np.sum(get_tridiag(lower_1, diagonal_1, upper_1),
137         # print(f"Sum of V-cols\n{np.sum(get_tridiag(lower_1, diagonal_1, upper_1),
138         # print(f"Sum of V-rows\n{np.sum(get_tridiag(lower_1, diagonal_1, upper_1),
139         # print(f"Sum of V-cols\n{np.sum(get_tridiag(lower_1, diagonal_1, upper_1),
140         # print(f"Sum of V-rows\n{np.sum(get_tridiag(lower_1, diagonal_1, upper_1),
141         # print(f"Sum of V-cols\n{np.sum(get_tridiag(lower_1, diagonal_1, upper_1),
142         # print(f"Sum of V-rows\n{np.sum(get_tridiag(lower_1, diagonal_1, upper_1),
143         # print(f"Sum of V-cols\n{np.sum(get_tridiag(lower_1, diagonal_1, upper_1),
144         # print(f"Sum of V-rows\n{np.sum(get_tridiag(lower_1, diagonal_1, upper_1),
145         # print(f"Sum of V-cols\n{np.sum(get_tridiag(lower_1, diagonal_1, upper_1),
146         # print(f"Sum of V-rows\n{np.sum(get_tridiag(lower_1, diagonal_1, upper_1),
147         # print(f"Sum of V-cols\n{np.sum(get_tridiag(lower_1, diagonal_1, upper_1),
148         # print(f"Sum of V-rows\n{np.sum(get_tridiag(lower_1, diagonal_1, upper_1),
149         # print(f"Sum of V-cols\n{np.sum(get_tridiag(lower_1, diagonal_1, upper_1),
150         # print(f"Sum of V-rows\n{np.sum(get_tridiag(lower_1, diagonal_1, upper_1),
151         # print(f"Sum of V-cols\n{np.sum(get_tridiag(lower_1, diagonal_1, upper_1),
152         # print(f"Sum of V-rows\n{np.sum(get_tridiag(lower_1, diagonal_1, upper_1),
153         # print(f"Sum of V-cols\n{np.sum(get_tridiag(lower_1, diagonal_1, upper_1),
154         # print(f"Sum of V-rows\n{np.sum(get_tridiag(lower_1, diagonal_1, upper_1),
155         # print(f"Sum of V-cols\n{np.sum(get_tridiag(lower_1, diagonal_1, upper_1),
156         # print(f"Sum of V-rows\n{np.sum(get_tridiag(lower_1, diagonal_1, upper_1),
157         # print(f"Sum of V-cols\n{np.sum(get_tridiag(lower_1, diagonal_1, upper_1),
158         # print(f"Sum of V-rows\n{np.sum(get_tridiag(lower_1, diagonal_1, upper_1),
159         # print(f"Sum of V-cols\n{np.sum(get_tridiag(lower_1, diagonal_1, upper_1),

```

```

160 [ 2%]         diagonal_3[j] = 1 + 2 * s
161 [ 2%]         upper_3[j]   = - s
162 [ 2%]         lower_3[j]   = - s
163
164 [ 2%]         if ADI:
165             a_plus = theta * a(x[i], v[j] + 0.5*dv, time, physical_params)
166             a_minus = theta * a(x[i], v[j] - 0.5*dv, time, physical_params)
167             # V-drift
168             if j!=0 and j!= M-1:
169                 b_3[j] += (- theta * a(x[i], v[j] + 0.5*dv, time, physical_params))*
p_dagger[j+1, i]
170                 b_3[j] += (- theta * ( a(x[i],v[j] + 0.5*dv, time, physical_params) - a(x
[i],v[j] - 0.5*dv, time, physical_params)) )*p_dagger[j, i]
171                 b_3[j] += (+ theta * a(x[i], v[j] - 0.5*dv, time, physical_params))*
p_dagger[j-1, i]
172             if i != 0 and i != N-1:
173                 # X-drift
174                 b_3[j] += alpha * v[j] * (p_dagger[j, i-1] - p_dagger[j, i+1])
175
176 [ 2%]         if CN_ized_steps[2]:
177             if j > 0 and j < M-1:
178                 b_3[j] += ( s)* p_dagger[j+1,i]
179                 b_3[j] += (-2*s)* p_dagger[j,i]
180                 b_3[j] += ( s)* p_dagger[j-1, i]
181
182             # ## Raw conservation of norm
183             # diagonal_v[0] = 1 - lower_v[0]
184             # diagonal_v[M-1] = 1- upper_v[M-2]
185
186             # Solves the tridiagonal system for the column
187 [ 8%]         p[:, i] = tridiag(lower_3, diagonal_3, upper_3, b_3)
188 [ 4%]         amplification_average[2] += np.sum(p[:, i])/np.sum(p_dagger[:,i])/N/n_steps
189
190         ##### UTILS
191         #####
192         # Takes trace of normalization
193         if save_norm:
194             norm[time_index] = quad_int(p, integration_params)
195
196         if save_current:
197             # Integral in v
198             for j in range(M):
199                 currents['right'][time_index] += v[j]*p[j, N-2]*dv
200                 currents['left'][time_index]  -= v[j]*p[j, 1]*dv
201
202             # Integral in x
203             for i in range(N):
204                 currents['top'][time_index] += a(x[i], v[M-2], t0 + time_index*dt,
physical_params)*p[M-2, i]*dx
205                 currents['top'][time_index] -= 0.5*physical_params['sigma_squared']*( (p[M
-1,i] - p[M-2,i])/dv )*dx
206
207                 currents['bottom'][time_index] -= a(x[i], v[2], t0 + time_index*dt,
physical_params)*p[2, i]*dx
208                 currents['bottom'][time_index] += 0.5*physical_params['sigma_squared']**2*(
(p[1,i] - p[0,i])/dv )*dx
209             print(f"Amplification averages = {np.array(amplification_average)}")
210             return p, norm, currents

```

B Soluzione analitica dell'eq. di Kramers a coefficienti lineari

Il seguito è tratto da [6], [7] e [8], in cui il problema viene risolto in uno spazio infinito e non in un quadrato.

L'equazione

$$\partial_t P = -v \partial_x P + \partial_v ((\omega^2 x + \gamma v) P) + \frac{\sigma^2}{2} \partial_v^2 P$$

diventa per la funzione caratteristica $\phi(\mathbf{k}, t) = \langle \exp i \mathbf{k} \cdot \mathbf{x} \rangle$

$$\partial_t \phi(\mathbf{k}, t) = k_x \partial_{k_v} \phi(\mathbf{k}, t) - \omega^2 k_v \partial_{k_x} \phi(\mathbf{k}, t) - \gamma k_v \partial_{k_v} \phi(\mathbf{k}, t) + \frac{\sigma^2}{2} k_v^2 \phi(\mathbf{k}, t)$$

per cui si cerca una soluzione della forma

$$\phi(\mathbf{k}, t) = \exp(-i \mathbf{k} \boldsymbol{\mu}(t)) \exp(-\frac{1}{2} \mathbf{k} \boldsymbol{\sigma}(t) \mathbf{k})$$

per cui il vettore e la matrice ausiliari $\boldsymbol{\mu}(t)$ e $\boldsymbol{\sigma}(t)$ rispettano

$$\frac{d\boldsymbol{\mu}}{dt} + \boldsymbol{\Gamma} \boldsymbol{\mu} = 0 \quad (34)$$

$$\frac{d\boldsymbol{\sigma}}{dt} + \boldsymbol{\Gamma} \boldsymbol{\sigma} + (\boldsymbol{\Gamma} \boldsymbol{\sigma})^\dagger = 2\mathbf{D} \quad (35)$$

dove la matrice $\boldsymbol{\gamma}$ e la matrice \mathbf{D} sono

$$\boldsymbol{\Gamma} = \begin{pmatrix} 0 & -1 \\ \omega^2 & \gamma \end{pmatrix} \quad (36)$$

$$\mathbf{D} = \begin{pmatrix} 0 & 0 \\ 0 & \sigma^2 \end{pmatrix} \quad (37)$$

Cioe' $\boldsymbol{\mu}$ e $\boldsymbol{\sigma}$ sono e soluzioni dell' equazione di Langevin omogenea associata al sistema e rappresentano i momenti primi e i momenti secondi. In particolare, le eqs. (34) e (35) hanno soluzioni

$$\boldsymbol{\mu}(t) = \mathbf{G}(t) \mathbf{x}_0 \quad (38)$$

$$\boldsymbol{\sigma}(t) = \int_0^t \mathbf{G}(\tau) \mathbf{D} \mathbf{G}^\dagger(\tau) d\tau \quad (39)$$

$$\mathbf{G}(t) = \exp(-\boldsymbol{\Gamma} t) \quad (40)$$

Infine, applicando la trasformata inversa si ottiene per la probabilità di transizione:

$$P(\mathbf{x}, t | \mathbf{x}_0, t_0 = 0) = \frac{1}{2\pi} |\boldsymbol{\sigma}(t)|^{-\frac{1}{2}} \exp \left[-\frac{1}{2} (\mathbf{x} - \mathbf{G}(t) \mathbf{x}_0) \boldsymbol{\sigma}^{-1}(t) (\mathbf{x} - \mathbf{G}(t) \mathbf{x}_0) \right] \quad (41)$$

C Refuso di eq. 7

Nell'equazione 7 di [3] è presente un refuso che porta alla risoluzione di un' altra equazione. In particolare lo schema di integrazione per l'operatore in v viene definito come:

$$\begin{aligned} \frac{p_{ij}^* - p_{ij}^n}{\Delta t} &= F_{i,j+1} - F_{i,j-1} \\ F_{i,j\pm 1} &= \pm \frac{\sigma^2}{2\Delta v} \left(\frac{p_{i,j\pm 1} - p_{ij}}{\Delta v} \right) + a(x, v \pm \Delta v) \left(\frac{p_{i,j\pm 1} + p_{ij}}{2\Delta v} \right) \end{aligned}$$

in cui la densità di probabilita e implicitamente calcolata al tempo intermedio. La differenza, se sviluppata, porta a:

$$\begin{aligned} F_{i,j+1} - F_{i,j-1} &= \frac{\sigma^2}{2\Delta v^2} [p_{i,j+1} - 2p_{ij} + p_{i,j-1}] \\ &+ a(x, v + \Delta v) \left(\frac{p_{i,j+1} + p_{ij}}{2\Delta v} \right) - a(x, v - \Delta v) \left(\frac{p_{i,j-1} + p_{ij}}{2\Delta v} \right) \end{aligned}$$

in cui la prima parte è l'usuale termine diffusivo, mentre la parte riguardante la funzione $a(x, v)$ è circa uguale a

$$a(x, v) \left[\frac{p_{i,j+1} - p_{i,j-1}}{2\Delta v} \right] + \frac{\partial a}{\partial v} \left[\frac{p_{i,j+1} + p_{i,j-1}}{2} + p_{ij} \right] \\ \approx a(x, v) \frac{\partial p}{\partial v} + 2 \frac{\partial a}{\partial v} p(x, v) \neq \partial_v(ap)$$

L'errore viene banalmente risolto definendo

$$F_{i,j\pm 1} = \pm \frac{\sigma^2}{2\Delta v} \left(\frac{p_{i,j\pm 1} - p_{ij}}{\Delta v} \right) + a \left(x, v \pm \frac{\Delta v}{2} \right) \left(\frac{p_{i,j\pm 1} + p_{ij}}{2\Delta v} \right)$$

per cui la matrice da risolvere al posto della (??) è

$$\begin{aligned} \mathbf{A}_{jm}^{(i)} = & \left(-\eta - \theta a_{j+1/2}^{(i)} \right) \delta_{j+1,m} \\ & + \left(1 + 2\eta - \theta \left[a_{j+1/2}^{(i)} - a_{j-1/2}^{(i)} \right] \right) \delta_{jm} \\ & + \left(-\eta + \theta a_{j-1/2}^{(i)} \right) \delta_{j-1,m} \end{aligned} \quad (42)$$

con gli stessi parametri di eq. (26).

Riferimenti bibliografici

- [1] N. N. Yanenko. *The Method of Fractional Steps: The Solution of Problems of Mathematical Physics in Several Variables*. A cura di Maurice Holt. Springer, 1971. ISBN: 9783642651106, 3642651100, 9783642651083, 3642651089.
- [2] Randall J. LeVeque. *Finite Volume Methods for Hyperbolic Problems*. Cambridge Texts in Applied Mathematics. Cambridge University Press, 2002. ISBN: 978-0521009249.
- [3] M.P. Zorzano, H. Mais e L. Vazquez. "Numerical solution of two dimensional Fokker—Planck equations". In: *Applied Mathematics and Computation* 98.2 (1999), pp. 109–117. ISSN: 0096-3003. DOI: [https://doi.org/10.1016/S0096-3003\(97\)10161-8](https://doi.org/10.1016/S0096-3003(97)10161-8). URL: <https://www.sciencedirect.com/science/article/pii/S0096300397101618>.
- [4] Tung-Lin Tsai, Jinn-Chuang Yang e Liang-Hsiung Huang. "An Accurate Integral-Based Scheme for Advection–Diffusion Equation". In: *Communications in Numerical Methods in Engineering* 17 (2001), pp. 701–713. DOI: [10.1002/cnm.442](https://doi.org/10.1002/cnm.442).
- [5] Richard L. Burden e J. Douglas Faires. *Numerical Analysis*. 9th. Brooks Cole, 2010, p. 236.
- [6] N. G. Van Kampen. *Stochastic Processes in Physics and Chemistry*. North-Holland Personal Library. North-Holland/Elsevier Science, 2007.
- [7] Hannes Risken. *The Fokker-Planck Equation: Methods of Solution and Applications*. Springer, 1996.
- [8] Sau Fa Kwok. *Langevin And Fokker-Planck Equations And Their Generalizations: Descriptions And Solutions*. World Scientific, 2017.